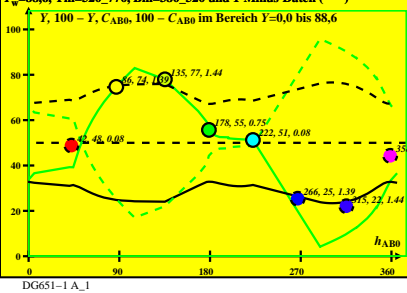
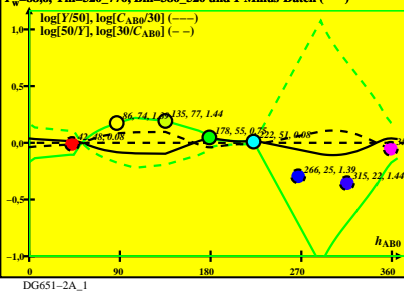


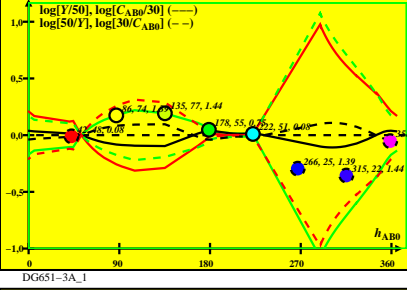
CIE-D50-Daten von -Ostwald-Farben von maximalem Buntwert C_{AB}
 $Y_w=88,6$, $Y_m=520_770$, $Bm=380_520$ und 1-Minus-Daten (—)



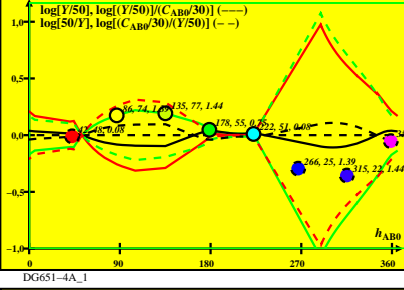
CIE-D50-Daten von -Ostwald-Farben von maximalem Buntwert C_{AB}
 $Y_w=88,6$, $Y_m=520_770$, $Bm=380_520$ und 1-Minus-Daten (—)



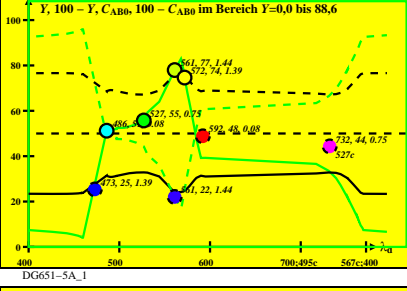
CIE-D50-Daten von -Ostwald-Farben von maximalem Buntwert C_{AB}
 $Y_w=88,6$, $Y_m=520_770$, $Bm=380_520$ und 1-Minus-Daten (—)



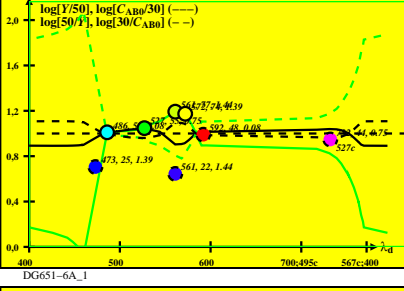
CIE-D50-Daten von -Ostwald-Farben von maximalem Buntwert C_{AB}
 $Y_w=88,6$, $Y_m=520_770$, $Bm=380_520$ und 1-Minus-Daten (—)



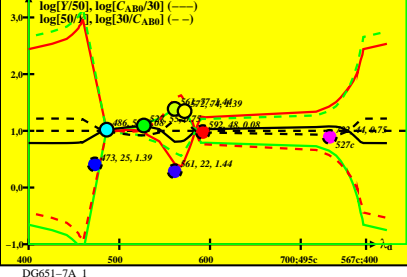
CIE-D50-Daten von -Ostwald-Farben von maximalem Buntwert C_{AB}
 $Y_w=88,6$, $Y_m=520_770$, $Bm=380_520$ und 1-Minus-Daten (—)



CIE-D50-Daten von -Ostwald-Farben von maximalem Buntwert C_{AB}
 $Y_w=88,6$, $Y_m=520_770$, $Bm=380_520$ und 1-Minus-Daten (—)



CIE-D50-Daten von -Ostwald-Farben von maximalem Buntwert C_{AB}
 $Y_w=88,6$, $Y_m=520_770$, $Bm=380_520$ und 1-Minus-Daten (—)



CIE-D50-Daten von -Ostwald-Farben von maximalem Buntwert C_{AB}
 $Y_w=88,6$, $Y_m=520_770$, $Bm=380_520$ und 1-Minus-Daten (—)

